論文 緊張アラミド繊維ベルトで応急補強した損傷柱の弾塑性挙動

藤川 将吾*1・山川 哲雄*2

要旨:極脆性柱をせん断破壊させた後,その損傷柱に下地材として鋼板,またはアングルを用いて,アラミド繊維ベルトによる耐震応急補強を施し,損傷柱の耐震性能を回復できるかどうかを検討した。それと同時に応急補強前後の残存・修復軸耐力の測定も併せて行った。この結果を利用して,応急補強した損傷柱試験体の一定軸力下の正負繰り返し水平加力実験結果を照査した。これらの検討により,アラミド繊維ベルトによるプレストレス導入とノンプレストレスの差異も明確に現れ,応急補強法として損傷柱に対するプレストレス導入の有効性を明らかにした。

キーワード:アラミド繊維ベルト,プレストレス,応急補強,残存軸耐力,極脆性柱

1. 序

地震で損傷したRC柱の残存・修復軸耐力を明らかにすることは、応急補強を行う上で重要な課題である。本応急補強は地震被災直後を想定したものであり、重機を必要としない乾式工法で、速効性を要求される。したがって、エポキシ樹脂を用いたひび割れの修復や、ベルトへの含浸などは一切行わない。このような応急補強を恒久的な耐震補強に変換するためには、ひび割れの修復やベルトのプレストレスの管理やクリープ対策、さらには耐久性の確保などが課題となる。または余震が収まった後、他の恒久的な耐震補強法を選択することも考えられる。

著者らの実験的研究で損傷RC柱の修復損傷限界に関しては、損傷後も長期の軸力(軸力比0.2)を支えうる損傷レベルまでは応急補強が

有効であることを確認しているい。しかし、その実存軸耐力は加力いない。その残存軸されていない。そこで、緊張アラミド繊維いるに対したを前提に、応急補強をできる。後の残存・修復軸耐力を確認することに加えて、プレ

ストレス導入の有効性を明らかにすることが本 研究の目的である。

2. 実験計画

本実験で用いた鉄筋、鋼板、及びアラミド繊維ベルト(以下ベルト)の力学的特性を Table 1に、補強RC柱試験体の一覧をTable 2に示す。

Table 1 Mechanical properties of materials

		mm²) mm)		, σy (Pa)		, £у %)	E (GPa)
Aramid belt (A single belt)	a	10.4	σu	2065	εu	1.75	118
Steel plate	t	3.2	σу	276	εу	0.13	212
Rebar (D10)	a	71.0	σу	372	εу	0.20	186
Ноор (3.7ф)	а	11.0	σу	390	εу	0.19	205

Notes: Ou/Eu=fracture strength/strain of belt, a=cross section area, Oy/Ey=yield strength/strain of steel, t=thickness of steel plate, E=Young's modulus of elasticity.

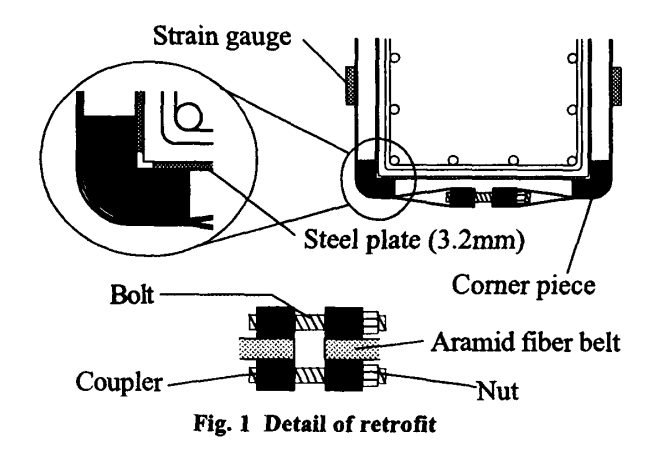
Table 2 Emergency retrofit column specimens

	ER03S-Aw65S	ER03S-Aw65SN	ER03S-Aw65SA			
Specimen M/(VD)=1.0	Steel plate (t=3.2mm)	Steel plate (t=3.2mm)	Steel angle (L-50 × 50 × 6)			
Pretension strain level	3500µ	0μ	3500μ			
Axial force ratio	0.2	0.2	0.2 → 0.4			
Max. crack width	1.0mm (small)	0.95mm (small)	2.3mm (medium)			
Ов	28.5MPa					
Aramid belt	2ply-double-@65					
Retrofit detail	Steel plate(240 >	< 470 × 3.2mm)	Width side:Steel plate Depth side:Steel angle			

- *1 琉球大学大学院 理工学研究科 環境建設工学専攻 (正会員)
- *2 琉球大学 工学部環境建設工学科教授 工博 (正会員)

柱試験体の寸法は250×250×500mmである。 せん断スパン比が1.0で、主筋比はpg=1.36%、 帯筋比はpw=0.08%と非常に少ない極脆性柱と なっている。耐震補強を施さなければ既存RC 柱として本試験体は、脆性的なせん断破壊を容 易に起こす試験体である。

応急補強に用いたベルトは全て幅17mmの基 準幅のベルトを2本平行に巻き付けて(17mm) × 2=34mm 幅), ダブル幅ベルトとして利用し た。なお,ベルトは17mm幅のアラミド繊維 シートの端部を100mm ラップさせエポキシ樹 脂を用いて接着し、リング状に試作した。この ベルトを重ねた状態で柱の四隅に配置したコー ナーピースを介して柱の外側に周回させた。輪 になったベルトの両端をカプラーで連結し閉鎖 形にした上で,ボルトとナットを用いて緊張力 を導入した(Fig. 1参照)。その時のカプラーの 位置は柱幅面である。試験体ER03S-Aw65Sと ER03S-Aw65SAに導入した緊張ひずみは、ベル ト破断ひずみの約2割に相当する3500μ(応力 度に換算して413MPaで、ダブルベルト1本当 たり17.2kN) 前後である。なお、ベルトのプレ ストレスを柱4面とも均一に導入するために, 摩擦力を低減させる目的でコーナーピース側面 に離形フィルムを貼付した。なお、試験体 ER03S-Aw65SN は緊張力を導入していない。 ひずみゲージの貼付は全てのベルトのゲージ貼 付位置(柱せい面)のみに局所的にエポキシ樹 脂を含浸させてから行った。ベルトの配置間隔 はどの柱試験体も65mmである。



試験体ER03S-Aw65SとER03S-Aw65SNは損 傷した柱の4面に240×470×3.2mmの鋼板を あてた上で, コーナーピースとカプラーを介し てベルトを巻き付けた。残りの試験体 ER03S-Aw65SA は水平力と平行面に L-50 × 50 × 6 を 65mm 間隔で配置し、水平力と直交する面には カプラーの取り付けに伴い240×470×3.2mm の鋼板をあてた。これらの上にコーナーピース とカプラーを介してベルトを巻き付けた。鋼板 に代わってL-50×50×6のアングルを利用し た理由は、鋼板より面外曲げ剛性が大きく、鋼 板とは異なり、離散的な利用も可能であると考 えたからである。いずれにしても鋼板やアング ルを用いた理由は、コーナーピースが座屈防止 の役割を担っている隅筋を除いて,中間主筋の 座屈防止をはかり, 応急補強柱試験体の強度と

応急補強前の損傷直後の残存軸耐力, 応急補強直後の修復軸耐力, そして正負繰り返し水平加力実験終了後の残存軸耐力の確認と都合3回の鉛直載荷実験と, 応急補強をはさみその前後に2回の正負繰り返し水平加力実験を行ったことになる。

3. 実験結果と考察

靭性を確保するためである。

応急補強前の各試験体のせん断ひび割れ状況を Fig. 2 に示す。試験体のせん断力 V と部材角 R の履歴曲線,及び柱の平均伸縮ひずみ εν と部 材角 R の関係を Fig. 3 に示す。なお,V-R 曲線 中の点線は横拘束効果を無視し,P-δ 効果を考 慮した損傷のない健全な多段配筋柱の曲げ強度 略算値である。試験体 ER03S-Aw65S は正負側

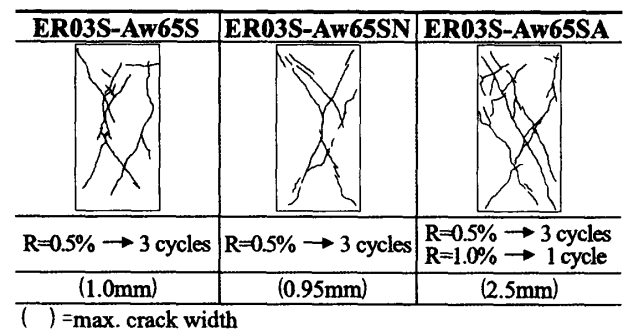


Fig. 2 Observed cracking patterns (depth side)

で部材角が R=0.25% のときに, 0.5 から 0.8mm 前後のせん断ひび割れが発生し,水平耐力が低 下した。その後R=0.5%で正負3回繰り返し,水 平力を零に戻したところ, 残留部材角及び残留 軸ひずみはほぼ0%で、最大ひび割れ幅は約0.8 から1.0mmであった(Fig. 2参照)。その後, こ の損傷した試験体の残存軸耐力を測定するため に水平力零のまま軸力のみをかけた。圧縮破壊 するまで軸力を載荷すれば、残存軸耐力を正確 に確認できるが、そうすれば応急補強ができな くなる恐れがあるので軸力比0.5弱で止め、軸 力比0.2に戻した。このときの残留部材角はほ ぼ0%で、残留軸ひずみは-0.1%であった。こ のまま軸力比0.2の状態で柱表面に4面とも鋼 板 (240×470×3.2mm) をあて、ベルトに緊 張力を導入し(3500μ), 応急補強を施した。そ の後再び修復軸耐力を計測するために,軸力の みを載荷した。このとき応急補強した試験体 は、RC柱としてシリンダー強度 $\mathbf{O}_{\mathbf{R}}$ まで回復し た。このことを確認後に軸力比を0.2まで戻し た。このときの残留部材角はほぼ0%で、残留 軸ひずみは-0.4%であった。その後, 軸力比を 0.2 に保持したまま、R=0.5% から 0.5% の増分 で3サイクルずつの正負繰り返し水平加力実験 を行った。その結果, 水平耐力の低下もなく非 常に安定した挙動を示した。柱の平均伸縮ひず み Ev も部材角の増大とともに引張側に立ち上 がった形状を示しており, せん断破壊時に比較 してEv も回復している。正負繰り返し水平加 力実験終了後に、みたび残存軸耐力を計測し た。圧縮強度はRC柱としてシリンダー強度 On 以上であるが (Fig. 4参照), 応急補強後の水平 加力実験前に比べ初期勾配は緩やかになってい る。これは正負繰り返し水平加力実験によっ て、多数の荷重履歴を受けたため、損傷がさら に拡大したからと思われる。

試験体 ER03S-Aw65SN はせん断ひび割れ後の応急補強に、鋼板を柱に4面ともあてたもの

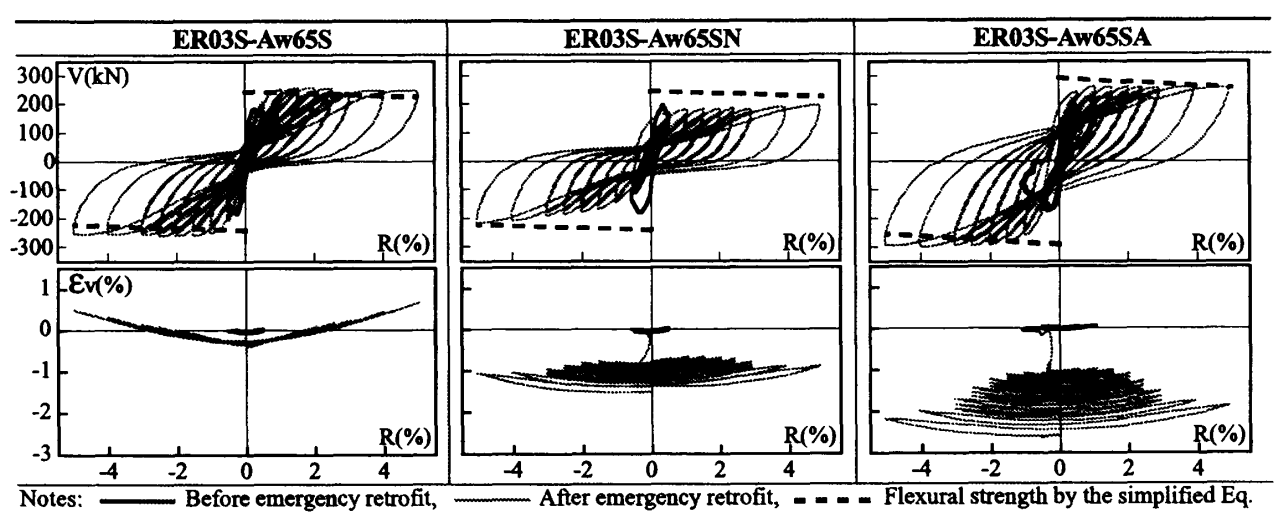


Fig. 3 Measured V-R and Ev-R relationships

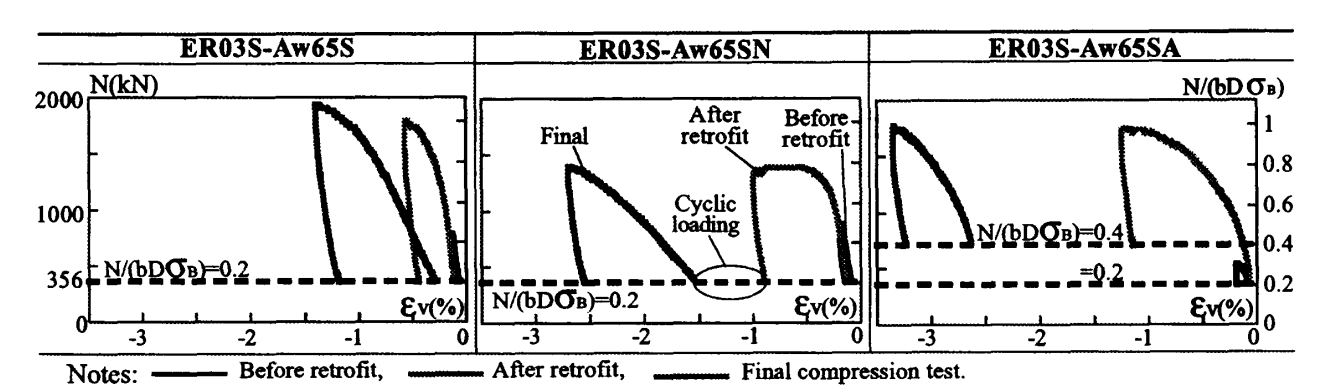


Fig. 4 Measured axial force vs. axial compression strain

の,ベルトに緊張力を導入せず、プレストレス の有無が応急補強後の耐震性能に与える影響を 検討したものである。R=0.27%で初期せん断ひ び割れが生じ、R=0.5%で正負3回繰り返すう ちにせん断ひび割れ幅が水平力と平行な両面 に,ともに0.95mmに拡大した(Fig. 2 参照)。 なお,軸力比は0.2である。水平力を零にもど したときの残留水平変位はR=-0.14%であっ た。そのときの残存軸耐力は損傷が小さいの で、RC柱としてシリンダー強度 5。の約50%程 度である。その後、軸力比を0.2に維持したま ま鋼板を4面にあて、その上からベルトで応急 補強を行い、修復軸耐力の確認を行った。ベル トに緊張力を導入していないので、軸耐力は RC柱として0.80。までしか回復できなかった。 この場合はFig. 4に示すように、軸耐力の降伏 棚を確認することができたので、応急補強後 (緊張力なし) の修復軸耐力を確定することが 可能である。この状態で一定軸力比0.2の正負 繰り返し水平加力実験を行ったが、Fig. 3 に示 すようにベルトに緊張力を導入しなかったの で、靭性は確保できたが、水平耐力が緊張力を 導入した試験体 ER03S-Aw65S に比較して小さ くなっている。一方, Fig. 4より残留ひずみは 試験体 ER03S-Aw65S に比較して大きい。これ らの実験結果は,両者の試験体間にプレストレ スによる能動的拘束圧の差異が影響を及ぼして いることを示している。したがって、ベルトに

緊張力を導入することが力学的に有利である。

試験体 ER03S-Aw65SA は最初に一定軸力比 0.2 の鉛直荷重下で加力実験を開始し、部材角 0.35%で大きな音がして、初期せん断ひび割れ が生じた。R=0.5%で水平力に平行な柱両面に せん断ひび割れ幅 0.7mm が生じ, 0.5% の部材 角を2回、3回と正負繰り返すうちにせん断ひび 割れ幅が約1.2mm前後に拡大した。さらに、部 材角 1% で 1 回正負に繰り返すと R=0.7 % 近 傍でせん断破壊が進行し、R=-1%で2.3から 2.5mmのせん断ひび割れが生じ、水平力を零に もどしても約-0.5%の残留部材角が残った。そ の状態で残存軸耐力の検証を行うために,鉛直 荷重を増加させた。RC柱として軸力比約0.3の レベルを確認後に軸力比を 0.2 にもどし、水平 カと平行な面にはL-50×50×6のアングルを 65mm 間隔で配置し、水平力と直交する面には 鋼板(240×470×3.2mm)をあて、これらの 上から65mm間隔でベルトを配置して3500μ相 当の緊張力を導入した。緊張力の導入によって 軸ひずみが Fig. 4 に示すように若干もどった。 その後、鉛直荷重を増加させ、応急補強後の柱 の軸耐力を確認すると、Fig. 4に示すようにRC 柱としてコンクリートシリンダー強度の。をほ ぼ確保している。それを確認後に軸力比を0.4 にもどし、一定軸力比 0.4 のもとで正負繰り返 し水平加力実験を行った。軸力が長期軸力比相 当の0.2の2倍と高いので、履歴曲線は水平耐

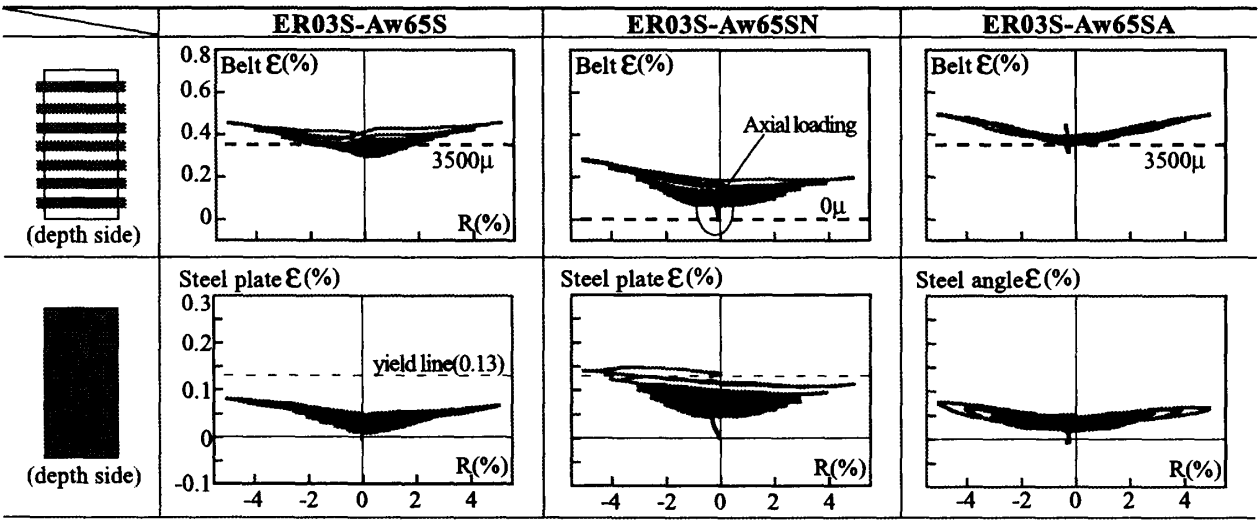


Fig. 5 Strain of aramid fiber belt, steel plate and steel angle by cyclic loading tests under constant axial force

力がやや大きく、かつエネルギー吸収の高い紡錘形のループを描いている (Fig. 3参照)。ただし、初期状態で残留変形が生じたまま、軸力比の高い正負繰り返し水平加力実験を行ったので、水平耐力に正側と負側で若干の差異が生じている。さらに軸力が高いので残留圧縮ひずみが大きい (Fig. 4参照)。

Fig. 5 の上段に、代表的なベルトのひずみ (縦軸)と部材角(横軸)の関係を,下段に鋼板 及び、アングルのひずみ(縦軸)と部材角(横 軸)の関係を示す。なお,これらのひずみはい ずれもベルトの巻かれた周方向の成分である。 試験体ER03S-Aw65SとER03S-Aw65SNは損傷 レベルがほぼ等しいので、プレストレスの有無 がベルトと鋼板に与える影響が明確にわかる。 試験体 ER03S-Aw65S のベルトのひずみは初期 プレストレスレベル (3500μ) のままほぼ一定 で, 鋼板も降伏はしていないが, 試験体ER03S-Aw65SNのベルトひずみは部材角の増大ととも にひずみレベルが増大していき、部材角5%時 には3500μにまで達している。さらに鋼板も主 筋の座屈ではらみ出したコンクリートの影響に より、材軸方向と直交方向に引張降伏してい る。このことからベルトにプレストレスを導入 することは、ベルトと鋼板に非常に有効である ことがわかる。一方, アングルを用いた試験体 ER03S-Aw65SAのベルトひずみは、初期プレス トレスレベル (3500μ) から部材角 5% 時には 5000μに達している。これは軸力が高いため と、Fig. 5からわかるようにアングルの曲げ剛 性が高いので、ベルトが有効に機能しているた めであると思われる。

Table 3 Measured maximum axial force of RC columns N(kN)

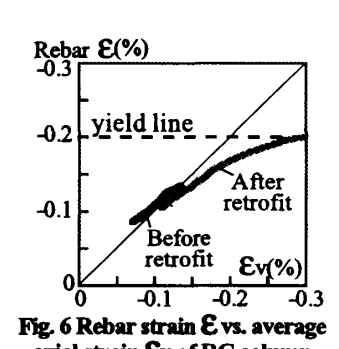
	Before retrofit	After retrofit	
ER03S-Aw65S	786	1789	
ERUSS-AWUSS	(0.44)	(1.00)	
ER03S-Aw65SN	876	1389	
ERUJS-AWUSSIN	(0.49)	(0.78)	
ER03S-Aw65SA	535	1749	
ERUJS-AWUSSA	(0.30)	(0.98)	

The value in bracket shows axial stress to $\mathcal{O}_{\mathbf{p}}$ ratio.

4. 軸耐力と実験値の検討

Table 3 に Fig. 4 から得られた実験上の最大 値を示す。この最大値はRC柱としての最大軸 耐力である。ただし、試験体によっては降伏棚 を実験的に正確に確認していないので,各中心 圧縮実験で求めた最大軸耐力は控えめな値であ る可能性がある。よって、コンクリートのみが 受け持つ軸耐力を算出するために,主筋の受け 持つ軸力を差し引く必要がある。ここで、主筋 ひずみが柱の平均軸ひずみに等しいと仮定(平 面保持仮定) した。ただし、平均軸ひずみが主 筋の降伏ひずみを超えた場合は降伏強度を用い た。この仮定の妥当性はFig.6に示す軸耐力測 定時の代表的な主筋ひずみと、柱の平均軸ひず みの関係からわかる。そして主筋が負担する軸 力を計算で求めた。この主筋が負担する軸力を RC柱(主筋+コンクリート)としての最大軸耐 力から差し引いた。この主筋の持分を差し引い た値をTable 4に示す。Table 4に示した値を用 いた曲げ強度略算式と、AIJ靱性設計指針式²⁾に よるせん断強度式,及び水平加力実験で得られ たスケルトンカーブの比較をFig.7に示す。試 験体ER03S-Aw65SとER03S-Aw65SNのスケル トンカーブは損傷レベルが小さいため部材角が

はば0%からスタートしているが、試験体ER03S-Aw65SAは損傷レベルが大きいため、部材角はマイナスからスタートしている。



axial strain Ev of RC column

Table 4 Measured maximum axial force and stress for concrete

	Before	retrofit	After retrofit		
	(kN)	(MPa)	(kN)	(MPa)	
ER03S-Aw65S	664 (0.38)	10.8	1472 (0.84)	23.9	
ER03S-Aw65SN	683 (0.39)	11.1	1072 (0.61)	17.4	
ER03S-Aw65SA	369 (0.21)	6.0	1432 (0.82)	23.4	

The value in bracket shows axial stress to O_n ratio.

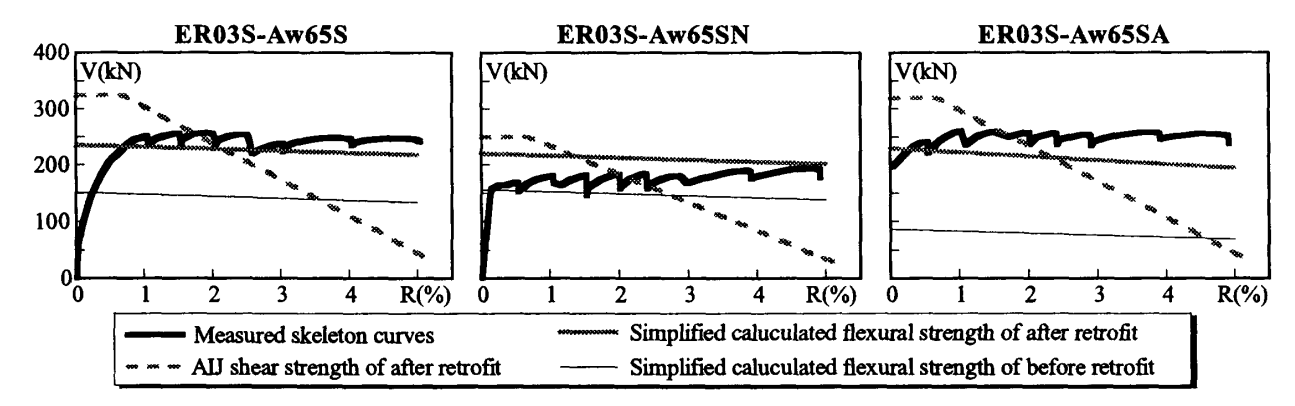


Fig. 7 Comparison of measured skeleton curves and calculated strength

軸耐力の測定により、試験体 ER03S-Aw65SNは完全に応急補強後の降伏棚が出てい る (Fig. 4参照)。Fig. 7において曲げ強度略算 値は軸耐力測定で得られたノンプレストレスの ベルトの最大能力値を用い、P-δ効果の影響に より右下がりの線となっている。一方、水平加 力実験値では,部材角が小さいときはあまりべ ルトの効果はないが部材角の増大とともにベル トの拘束効果が現れ、耐力が上昇している。そ して最終的に部材角5%のときに曲げ強度略算 値と水平加力実験値が合っている。試験体 ER03S-Aw65SとER03S-Aw65SAはFig. 4にお いて応急補強後の降伏棚がまだ見えていないた め,修復軸耐力から求めた曲げ強度略算値は水 平加力時の最大耐力と比較して,多少低めの値 をとっている。もし軸耐力測定時にこのまま鉛 直荷重をかけ続けて,降伏棚を確認することが できたならば、スケルトンカーブと曲げ強度略 算式はほぼ一致したのではないかと思われる。

軸耐力の測定は上記のことを考慮すると、柱 試験体の水平加力時の最大耐力をほぼ予測でき た。またFig. 7から応急補強時のプレストレス 導入は非常に効果的であることがわかる。ただ し、応急補強時のプレストレスによるアクティ ブ効果は、損傷したRC柱のひび割れを閉じさ せる効果があるため、アクティブ効果は損傷レ ベルによって差が生じると思われる。

5. 結論

1) せん断破壊、またはせん断ひび割れが生じ

た極脆性柱は長期軸力比 0.2 を維持できる状態であれば、これに鋼板やアングルを下地材にアラミド繊維ベルトで応急補強し、かつ緊張力を導入すればRC柱としてシリンダー強度を確保できそうである。しかし、緊張力を導入しないとRC柱として軸力比 0.8 程度にとどまる。

2) せん断破壊, またはせん断ひび割れが生じた極脆性柱をアラミド繊維ベルトで応急補強することは有効であり, 緊張力を導入すればなお効果的であることが, 一定軸力下の正負繰り返し水平加力実験で明らかになった。

3) 残存・修復軸耐力の測定により柱試験体の水平加力時の最大耐力をほぼ予測できることがわかった。今後は損傷レベルをパラメーターに、アラミド繊維ベルトのプレストレスによるアクティブ効果の検証が必要である。

豁餹

本研究は平成13年度科学研究費補助金(基盤研究(B),(展開) 13555159,研究代表者:山川哲雄)を受けた。

引用文献

- 1)藤川将吾,山川哲雄,佐藤元,玉寄幸直:損傷極脆性柱に緊張アラミド繊維ベルトを用いた耐震応急補強実験,コンクリート工学年次論文集, Vol. 25, No. 2, pp. 1759-1764 2003.
- 2) 日本建築学会:鉄筋コンクリート造の靭性 保証型耐震設計指針・同解説,日本建築学会, 1999.8